

# مراقبة الجودة المتعددة

## مع التطبيق على صناعة الألبان

دكتورة آنجة محمد راغب كمال الطايف

كلية التجارة جامعة عين شمس

عندما يكون لدينا عدد ( P ) من مواصفات مرتبطة لتصنيع منتج عند بدء إنتاجه لأول مرة ونريد مراقبة جودة هذه المواصفات في آن واحد ؛ فغالباً ما تكون البيانات محل الدراسة عبارة عن مشاهدات فردية جمعت من أول إنتاج . ويجب اختبار بيانات العملية الإنتاجية وتحديد الأسباب الخاصة للاختلافات بين المفردات المنتجة ؛ وذلك بغرض إقامة أسس المراقبة للحصول على عينة خالية من الاختلافات اللاعشوائية حتى يمكن استخدامها كأساس في تحديد حدود المراقبة لمشاهدات المستقبل بما يضمنبقاء العملية الإنتاجية تحت الضبط أى مراقبة إحصائية .

ويعتبر إحصاء  $T^2$  statistic ( Hotelling 's  $T^2$  statistic) أحد الطرق الشائعة الاستخدام في إنشاء خرائط المراقبة للمواصفات المتعددة . وإذا كانت العملية الإنتاجية في مرحلة البدء ؛ بحيث تكون البيانات المتاحة عبارة عن مشاهدات أولية فردية فإنه يمكن استخدام التوزيع التقريري ( F ) ، وكذلك توزيع  $\chi^2$  لإنشاء حدود مراقبة لمواصفات متعددة والتي تكون حدودها غير قابلة للتغيير في مرحلة البدء . وفي الوقت الحالى استخدم أسلوب فعلى جديد لإنشاء حدود مراقبة لمواصفات متعددة لمنتج فى مرحلة البدء معتمداً أساساً على توزيع ( Beta ) . وهذا البحث يتناول مثلاً عن الصناعات الغذائية - صناعة الألبان - وتطبيق هذا الأسلوب الفعلى وتوضيح أن التحسين فى النتائج الناتجة من استخدام هذا الأسلوب يعتبر افضل من أسلوب التقرير ؛ وخاصة إذا كان عدد العينات المستخدمة في الفحص صغيراً.

## المقدمة

يمكن قياس جودة الوحدات المنتجة لأى عملية إنتاجية بتحديد مستوى مشترك لجميع الموصفات المختلفة المرتبطة لهذه الوحدات . ومثال ذلك عملية صناعة النسيج وتعتبر دالة فى قوة الشد للفتلة من نسيج معين ، وكذلك درجة ثبات الصياغة المستخدمة ، وغيرها من الموصفات ، وأيضاً صناعة الأثاث تعتمد على درجة صلابة الأخشاب المستخدمة . وكذلك قوة الثنى لأنواع الخشب وغيرها من الموصفات . ونحتاج إلى مراقبة كل صفة من موصفات كل صناعة بدقة وعناء . ولقد أرجع ( Hawkins 1974 ) عملية التغيرات الكميائية التى تطرأ على القشرة الأرضية عند استخراج الفحم إلى ( 14 ) متغيراً مرتبطة جميعها ومثل هذه الحالة تمكناً خرائط المراقبة الأحادية المنفصلة لكل من الموصفات من اكتشاف التغيرات فى المتغيرات الكامنة لهذه العملية الإنتاجية . ونظراً لأن هذه الموصفات مرتبطة ومتداخلة فإن خرائط مراقبة الجودة المتعددة تكون أفضل .

ويعتبر ( Hotelling 1974 ) من أوائل الذين تداركوا استخدام خرائط المراقبة الأحادية المنفصلة للمتغيرات المرتبطة واستخدم خرائط المراقبة المتعددة لمراقبة جودة عمل الطائرات التى تستخدمن فى القصف الجوى أثناء الحرب العالمية الثانية . ولقد قدم ( Hotelling 1982-1985 ) مفاهيم عديدة فى مراقبة الجودة المتعددة أيضاً قدم ( Alt 1982-1985 ) مجموعة ممتازة من المقالات ناقش فيها مراقبة الجودة المتعددة ، وكذلك ( Jackson 1980 , 1981<sub>a</sub> , 1981<sub>b</sub> , 1985 ) وتحدث أيضاً ( Ryan 1989 ) عن الطرق الإحصائية لتحسين الجودة ، كما تعرض ( Mantogomery 1991 ) لمراقبة الجودة المتعددة مع بعض الأمثلة التطبيقية لها . ولقد استخدم ( Hotelling 1947 ) توزيعه المعروف (  $T^2$  ) فى رسم قيم خرائط المراقبة المتعددة بيانياً عندما تكون الموصفات تحت الدراسة مرتبطة . ويجب أن يكون واضحًا أن توزيع (  $T^2$  ) يعتبر نسخة مطابقة من توزيع ( T ) .

ولقد أوضح ( Alt 1985 ) أنه يتم إنشاء خرائط مراقبة أو ضبط الجودة لمهمتين أساسيتين .

## المهمة الأولى

التحقق من أن المنتج الجديد في بدء إنتاجه في حالة ضبط إحصائي ويتم هذا عن طريقأخذ مشاهدات أولية من المنتج الجديد واعتبارها عينة مماثلة لوحدات المنتج تؤخذ في فترة زمنية محددة وإخضاعها لعدة اختبارات يمكننا من اعتبار هذه المشاهدات بمثابة عينة نموذجية أو استرشادية في حالة ضبط إحصائي واستخدام هذه المجموعة من المشاهدات في إنشاء حدود مراقبة لغرض التحكم أو الضبط لهذه العملية الإنتاجية في المستقبل .

## المهمة الثانية

اعتبار خرائط المراقبة بمثابة تصميم يستخدم للحفاظ على المراقبة أو الضبط أو التحكم الإحصائي عن طريق اكتشاف أى انحراف عن العملية الإنتاجية المعيارية في المجموعات التي يتم اختيارها في المستقبل حتى يمكن الحكم على أن العملية الإنتاجية في حالة ضبط .

ويستخدم غالباً الإحصاء ( $T^2$ ) المتعدد كخرائط إحصائية لتحقيق المهمة الأولى عندما تكون أحجام العينات المسحوبة أكبر من وحدة واحدة . ولتحقيق المهمة الثانية فإن حدود المراقبة تحدد باستخدام حقيقة أن الإحصاء ( $T^2$ ) في أوقات الثبات يتبع توزيع (F) الفعلى وفي مرحل البداية للعملية الإنتاجية مع بيانات أولية فردية . ومع ذلك إذا حسبت حدود المراقبة باستخدام تقرير توزيع (F) أو توزيع ( $\chi^2$ ) فإن درجة الخطأ المصاحبة لهذا التقرير تكون غير معلومة .

ولقد عالج كل من ( Mason, Young , Tracy 1992) هذه المشكلة وقدمو الطريقة الدقيقة المضبوطة لإنشاء خرائط مراقبة متعددة الموصفات تستخدم عندما تكون البيانات التي جمعت فردية في مرحلة بدء العملية الإنتاجية ، وقاموا بتطبيقاتها على بيانات فردية ؛ أى أن حجم العينة مفردة واحدة ، وجمعت هذه البيانات في مرحلة البدء لعملية صناعية كمية لثلاث موصفات هي درجة التركيز ، درجة الحرارة ، وكذلك درجة

التلوث . وسوف نتناول عرض هذه الطريقة بالتفصيل وباستخدام نفس الرموز ثم تتبّعها  
بمثال تطبيقي .

## تصميم الضبط في مرحلة البدء للإنتاج

نفترض وجود عدد ( p ) من الموصفات (المتغيرات) المرتبطة ومقاسة آنها في وقت واحد وتحتاج إلى عملية ضبط أو مراقبة . نفترض أيضًا أن هذه الموصفات تتبع التوزيع الطبيعي المتعدد ذو ( p ) من الأبعاد وان متوجه الوسط الحسابي لهذا التوزيع

$$\mu^* = (\mu_1, \mu_2, \dots, \mu_p)$$

حيث تعبّر (  $\mu_i$  ) عن الوسط الحسابي للصفة أو المتغير ( i )

كذلك مصفوفة التغاير لهذا التوزيع هي (  $\Sigma$  ) من الرتبة (  $p \times p$  ) وتحتوي على البيانات والتغييرات لعدد ( p ) من الموصفات .

والتوزيع الطبيعي المتعدد ذو ( p ) من الأبعاد مماثل أو مناظر للتوزيع الطبيعي الأحادي المفترض لكل صفة على حدة . ونظراً لأن الإنتاج في مرحلة البدء وأن العملية الإنتاجية ليست في حالة ضبط ؛ نجد أنه لا يوجد توزيع واضح وثابت للبيانات ؛ وعليه فإن افتراض أن الموصفات محل الدراسة تتبع التوزيع الطبيعي المتعدد وضع فقط لإنشاء حدود الضبط . وبعد تثبيت عملية الضبط فيفترض أن البيانات منطقياً ستكون قد وزعت طبيعياً . والنتائج تعتمد هنا على صحة هذا الافتراض كما في حالة حدود المراقبة أو الضبط العادي لخراطط المراقبة الأحادية للمفردات التي تحتاج أيضًا إلى افتراض توزيعها طبيعياً ، كما يمكن اختبار افتراض أن البيانات موزعة توزيعاً طبيعياً متعدداً باستخدام اختبارات جودة التوفيق الطبيعي المتعدد ويمكن الرجوع في هذا إلى ( Gnanadesikan 1977 ).

يفترض أيضًا أن العينة المتألفة تحتوي على ( m ) مجموعة من بيانات سابقة لتقدير المعامل (  $\mu$  ,  $\Sigma$  ) وفي بعض الحالات غير جائز إمكانية الحصول علىمجموعات ذات حجم أكبر من مفردة واحدة . ويحدث ذلك عندما يكون معدل سرعة الإنتاج بطيء ؛ مما يؤدي إلى عدم إمكانية جعل أحجام العينات أكبر من وحدة واحدة ، أو مع نوعية

الإنتاج الذى إذا أعيدت القياسات للوحدات المختارة فإنها تختلف من فترة زمنية لأخرى أو بسبب أخطاء التحليل كما يحدث فى العمليات الكمية.

وإذا إفترضنا أن المشاهد الفردية ( $i$ ) لعدد ( $p$ ) من المواصفات فى العينة محل الضبط فإن المتوجه الذى يمثلها يمكن التعبير عنه كالتالى :

$$x_i = \begin{bmatrix} x_{i1} \\ x_{i2} \\ \vdots \\ \vdots \\ x_{ip} \end{bmatrix}$$

ويكون قيمة الوسط الحسابى المقدر كالتالى :

$$\bar{x}_i = \begin{bmatrix} \bar{x}_1 \\ \bar{x}_2 \\ \vdots \\ \vdots \\ \bar{x}_p \end{bmatrix}$$

وتعبر عناصر هذا المتوجه عن الأوساط الحسابية لكل صفة حيث

$$\bar{x}_i = \frac{1}{m} \sum_{j=1}^m x_{ij}$$

ويمكن التعبير عن مصفوفة التغير المقدرة كالتالى :

$$S_m = \frac{1}{m-1} \sum_{i=1}^m (x_i - \bar{x}_m)(x_i - \bar{x}_m)'$$

ولإنشاء خرائط المراقبة أو الضبط المتعددة باستخدام إحصاء (  $T^2$  ) ؛ فإن الإحصاء البياني لكل وحدة مشاهدة  $x_i$  هو :

$$Q_i = (x_i - \bar{x}_m)^T S_m^{-1} (x_i - \bar{x}_m) \quad (1)$$

والتوزيع (  $Q_i$  ) معروف على نحو غير متسع وبالتالي فإن غالبية خبراء خرائط المراقبة المتعددة يقربون هذا التوزيع إلى توزيع (  $F$  ) وتوزيع (  $\chi^2$  ) لغرض الحصول على حدود خرائط المراقبة والضبط . ويمكن الرجوع في ذلك إلى ( Jackson 1985 ) وكذلك ( Ryan 1989 ) .

ولقد أوضح ( Seber 1984 ) أن الإحصاء (  $Q_i$  ) قد وزع كمتغير (  $\chi^2$  ) مع درجات حرية (  $p$  ) . وفي هذه الحالة فإن الحد الأدنى للمراقبة أو الضبط يكون :

$$LCL = \chi^2 \left( 1 - \frac{\alpha}{2}; p \right) \quad (2)$$

وكذلك يكون الحد الأعلى للمراقبة أو الضبط :

$$UCL = \chi^2 \left( \frac{\alpha}{2}; p \right) \quad (3)$$

حيث تعبّر [  $\chi^2(\alpha; p)$  ] عن النسبة (  $1 - \alpha$  ) لتوزيع (  $\chi^2$  ) بدرجات حرية (  $p$  ) .

كذلك أوضح ( Seber 1984 ) في نظرته أنه بفرض أن المشاهدة (  $x_i$  ) مستقلة عن كل من (  $\bar{x}_m$  ) وكذلك (  $S_m$  ) . في هذه الحالة فإن الإحصاء (  $Q_i$  ) لا يتغير مع الزمن ويتبع توزيع (  $F$  ) بدرجات حرية بسط (  $p$  ) ومقام (  $m - p$  ) وسوف نستعرض هذه النظرية بالتفصيل :

نظريّة :

نعلم أن :

$$T^2 = m y` w^{-1} y$$

$$y \sim \mu_d (0, \Sigma)$$

حيث :

$$w \sim w_d (m, \Sigma)$$

وكذلك  $(w, y)$  مستقلين إحصائياً

وتعبر  $(N_d)$  عن التوزيع الطبيعي المتعدد له  $(d)$  من الأبعاد كما تعبّر  $(w_d)$  عن توزيع ويشارت المتعدد له  $(d)$  من الأبعاد وعلى ذلك فان :

$$\frac{m-d+1}{d} \frac{T^2}{m} \sim F(d, m-d+1)$$

وإذا افترضنا أن مجموعة من المشاهدات الأولية .

$$x_1, x_2, \dots, x_m$$

وكذلك المشاهدة  $(x_f)$  تمثل مشاهدة في المستقبل يراد التأكيد من صحتها ؛ حيث تعبّر  $(x_i)$  عن متوجه من المشاهدات في  $(p)$  من المتغيرات وبافتراض أن :

$$x_i \sim N_p (\mu, \Sigma)$$

$$\therefore \bar{x}_m \sim N_p (\mu, \frac{\Sigma}{m})$$

وكذلك :

$$(m-1) S_m \sim W_p (m-1, \Sigma)$$

وإذا كانت كل من  $(S_m, \bar{x}_m)$  قد تم إيجادها باستخدام مشاهدات تم الحصول عليها في مرحلة بدء الإنتاج وكذلك  $(x_f)$  تعبّر عن مشاهدة مستقبلية ؛ فإنه يمكن استنتاج

- آ . -

أن كل من ( $x_f$ ,  $\bar{x}_m$ ) وكذلك ( $S_m^{-1}$ ) مستقلين وعليه فإن :

$$x_f - \bar{x}_m \sim N_p \left[ 0, \left( \frac{m+1}{m} \right) \Sigma \right]$$

وبالتالي فإن :

$$\sqrt{\frac{m}{m+1}} (x_f - \bar{x}_m) \sim N_p (0, \Sigma)$$

ولذا عرف الإحصاء ( $T^2$ ) كالتالي :

$$T^2 = \left( \frac{m}{m+1} \right) (x_f - \bar{x}_m)^T S_m^{-1} (x_f - \bar{x}_m)$$

$$\therefore \frac{m-p}{m} \frac{T^2}{m-1} \sim F(p, m-1-p+1)$$

وهذه النتيجة تقود إلى الآتي :

$$\frac{m-p}{p(m-1)} \frac{m}{m+1} (x_f - \bar{x}_m)^T S_m^{-1} (x_f - \bar{x}_m) \sim F(p, m-p)$$

وبصورة أخرى نجد أن :

$$(x_f - \bar{x}_m)^T S_m^{-1} (x_f - \bar{x}_m) \sim \frac{p(m-1)(m+1)}{m(m-p)} F(p, m-p)$$

وفي هذه الحالة فإن الحد الأدنى للمراقبة يكون :

$$LCL = \frac{p(m-1)(m+1)}{m(m-p)} F\left(1 - \frac{\alpha}{2}; p, m-p\right)$$

ويكون الحد الأعلى للمراقبة :

$$UCL = \frac{p(m-1)(m+1)}{m(m-p)} F\left(\frac{\alpha}{2}; p, m-p\right)$$

حيث تمثل  $[F(\alpha, p, m-p)]$  عن النسبة  $(\alpha - 1)$  للتوزيع  $(F)$  مع درجات حرية  $(p)$  للبسط ،  $(m-p)$  للمقام .

والشرط اللازم والضروري هنا أن العملية الإنتاجية تكون في مرحلة البدء .

ولقد قام كل من ( Kettenring , Gnanadesikan 1972 ) باستخدام نتائج Wilks ( 1962 ) لإيجاد أن الإحصاء  $(Q_i)$  له توزيع  $(Beta)$  كالتالي :

$$Q_i \sim \frac{(m-1)^2}{m} \beta\left(\frac{p}{2}, \frac{m-p-1}{2}\right) \quad (4)$$

وهذا التوزيع الأخير يكون صحيحاً فقط تحت شرط أن قيمة  $(x_i)$  الفردية والأولية قد جمعت في مرحلة البداية للعملية الإنتاجية كما سبق أوضحنا . أى أن هذه القيم استخدمت لحساب حدود الضبط أو المراقبة واختبارت لمعرفة هل المشاهدات تحت المراقبة أم لا ، ويكون الحد الأدنى للمراقبة هو :

$$LCL = \frac{(m-1)^2}{m} \beta\left(1 - \frac{\alpha}{2}; \frac{p}{2}, \frac{m-p-1}{2}\right)$$

وكذلك الحد الأعلى للمراقبة هو :

$$UCL = \frac{(m-1)^2}{m} \beta\left(\frac{\alpha}{2}; \frac{p}{2}, \frac{m-p-1}{2}\right)$$

حيث يعبر  $\left[ \beta\left(\alpha; \frac{p}{2}, \frac{m-p-1}{2}\right) \right]$  عن النسبة  $(\alpha - 1)$  للتوزيع  $(Beta)$

ذو المعالم  $\left[\frac{m-p-1}{2}, \frac{p}{2}\right]$

ويستخدم العلاقة بين المتغيرات التي تتبع توزيع  $(F, Beta)$  ؛ وهي :

$$\frac{\left(\frac{p}{m-p-1}\right) F(\alpha; p, m-p-1)}{1 + \left(\frac{p}{m-p-1}\right) F(\alpha; p, m-p-1)} = \beta\left(\alpha; \frac{p}{2}, \frac{m-p-1}{2}\right)$$

ويستخدم هذه العلاقة فإن حدود المراقبة السابقة يمكن التعبير عنها باستخدام توزيع (F) ويصبح الحد الأدنى :

$$LCL = \frac{(m - 1)^2}{m} \frac{\left( \frac{p}{m - p - 1} \right) F\left( 1 - \frac{\alpha}{2}; p, m - p - 1 \right)}{1 + \left( \frac{p}{m - p - 1} \right) F\left( 1 - \frac{\alpha}{2}; p, m - p - 1 \right)} \quad (5)$$

ويصبح الحد الأعلى :

$$UCL = \frac{(m - 1)^2}{m} \frac{\left( \frac{p}{m - p - 1} \right) F\left( \frac{\alpha}{2}; p, m - p - 1 \right)}{1 + \left( \frac{p}{m - p - 1} \right) F\left( \frac{\alpha}{2}; p, m - p - 1 \right)} \quad (6)$$

من الواضح أنه يمكن استخدام (5)، (6) عندما يتذرع وجود جداول (Beta) وبالنسبة للخط المتوسط المناسب لمثل هذا النوع من خرائط المراقبة المتعددة يمكن الحصول عليه من معادلة (6) عند ( $\alpha = 1$ ) .

**المثال التطبيقي :**

يعبر جدول (1) عن بيانات مأخوذة في مرحلة البداية لعملية صناعية غذائية ، هي صناعة الألبان ومثالنا هذا يتعامل مع (7) متغيرات مقاسة في وقت واحد لعبوة صغيرة من اللبن مقدارها ( $50 / ml$ ) ، وهذه المتغيرات هي : مقدار السعرات الحرارية ( $x_1$ ) ، المواد البروتينية ومقاسه بالجم ( $x_2$ ) ، المواد الدهنية ومقاسه بالجم ( $x_3$ ) والمواد الكربوهيدراتية ومقاسه بالجم ( $x_4$ ) ، وفيتامين (A) ومقاس بالميكروجرام ( $x_5$ ) ، والكلاسيوم ومقاس بالمليجرام ( $x_6$ ) ، وأخيراً الفوسفور ومقاساً بالمليجرام ( $x_7$ ). والعينة الممثلة هنا لأول عملية إنتاج تحتوى على (18) عبوة صغيرة ذات حجم  $p = 7$  ( $ml / 50$ ) إذن في مثالنا هذا نجد أن  $m = 18$  وكذلك

جدول ( ١ ) بيانات العملية الصناعية الغذائية

Data	x <sub>1</sub>	x <sub>2</sub>	x <sub>3</sub>	x <sub>4</sub>	x <sub>5</sub>	x <sub>6</sub>	x <sub>7</sub>
1	32.90	1.79	1.53	2.84	21.50	51.20	49.50
2	32.80	1.78	1.52	2.94	20.00	53.00	48.50
3	32.30	1.77	1.61	2.84	20.90	51.80	50.20
4	31.60	1.80	1.49	2.87	21.10	53.65	50.10
5	30.50	1.76	1.54	2.93	20.70	52.28	49.60
6	32.70	1.72	1.52	2.92	19.90	50.50	49.80
7	32.30	1.71	1.58	2.85	19.85	50.70	48.30
8	33.10	1.79	1.54	2.83	20.00	52.70	48.20
9	33.30	1.78	1.58	2.95	21.60	51.60	48.50
10	32.70	1.77	1.48	2.98	20.70	51.35	49.10
11	31.90	1.74	1.59	2.78	21.30	51.50	49.30
12	32.40	1.78	1.54	2.85	20.20	52.80	50.20
13	32.30	1.69	1.58	2.93	20.90	52.75	49.50
14	32.70	1.68	1.51	2.86	19.50	51.25	48.00
15	31.10	1.72	1.59	2.95	19.40	51.25	48.20
16	32.90	1.74	1.52	2.95	19.60	52.00	48.70
17	33.20	1.76	1.57	2.96	20.20	52.35	48.90
18	33.30	1.72	1.60	2.97	21.65	53.12	47.40

ويستخدم بيانات الجدول السابق نجد أن قيمة المتوسطات للعينة هو :

$$\bar{x}_{18} = \begin{bmatrix} 32.50 \\ 1.75 \\ 1.55 \\ 2.90 \\ 20.50 \\ 52.00 \\ 49.00 \end{bmatrix}$$

وكذلك مصفوفة التغاير للعينة هي :

$$S_{18} = \begin{bmatrix} 0.4780 & 0.0002 & 0.0016 & 0.0088 & 0.0259 & -0.0408 & -0.2759 \\ 0.0002 & 0.0010 & -0.0004 & -0.0003 & 0.0113 & 0.0084 & 0.0115 \\ 0.0016 & -0.0004 & 0.0010 & -0.0002 & 0.0071 & -0.0026 & -0.0056 \\ 0.0088 & -0.0003 & -0.0002 & 0.0030 & -0.0034 & 0.0039 & -0.0152 \\ 0.0259 & 0.0113 & 0.0071 & -0.0034 & 0.6890 & 0.0735 & 0.1368 \\ -0.0408 & 0.0084 & -0.0026 & 0.0039 & 0.0735 & 0.5700 & 0.0580 \\ -0.2759 & 0.0115 & -0.0056 & -0.0152 & 0.1368 & 0.0580 & 0.6840 \end{bmatrix}$$

وتعبر المصفوفة ( $R_{18}$ ) عن مصفوفة الارتباط للعينة كالتالي :

$$R_{18} = \begin{bmatrix} 1.0000 & 0.0091 & 0.0732 & 0.2324 & 0.0451 & -0.0782 & -0.4825 \\ 0.0091 & 1.0000 & -0.4000 & -0.1732 & 0.4305 & 0.3518 & 0.4397 \\ 0.0732 & -0.4000 & 1.0000 & -0.1155 & 0.2705 & -0.1089 & -0.2141 \\ 0.2324 & -0.1732 & -0.1155 & 1.0000 & -0.0748 & 0.0943 & -0.3355 \\ 0.0451 & 0.4305 & 0.2705 & -0.0748 & 1.0000 & 0.1173 & 0.1993 \\ -0.0782 & 0.3518 & -0.1089 & 0.0943 & 0.1173 & 1.0000 & 0.0929 \\ -0.4825 & 0.4397 & -0.2141 & -0.3355 & 0.1993 & 0.0929 & 1.0000 \end{bmatrix}$$

ويمثل كل عنصر من عناصر المصفوفة ( $R_{ij}$ ) عن معامل الارتباط بين ( $x_i$  &  $x_j$ )  
ويمكن استنتاج معاملات الارتباط هذه باستخدام العناصر المكونة لمصفوفة التغيرات  $S_{ij}$   
وذلك باستخدام العلاقة :

$$r_{ij} = \frac{S_{ij}}{\sqrt{S_{ii}} \sqrt{S_{jj}}}$$

حيث تعبّر :

$r_{ij}$  عن معامل الارتباط في الصف ( $i$ ) والعمود ( $j$ ) في مصفوفة الارتباط .

$S_{ij}$  عن العنصر الذي يوجد في الصف ( $i$ ) والعمود ( $j$ ) في مصفوفة التغيرات .

والجدير باللحظة في مصفوفة معاملات الارتباط أن العناصر التي على جانبى القطر الرئيسي توضح أن معاملات الارتباط بين الـ (7) متغيرات توضح أن هذه المتغيرات مرتبطة فيما بينها مما يدعم ضرورة استخدام نظام مراقبة الجودة المتعددة .

ويمكن الحصول على حدود المراقبة المتعددة باستخدام معادلة (5) للحد الأدنى

وكذلك معادلة (6) لإيجاد الحد الأعلى كالتالي :

$$LCL = \frac{(18 - 1)^2}{18} \frac{\left(\frac{7}{18 - 7 - 1}\right) \times 0.0229}{1 + \left[\left(\frac{7}{18 - 7 - 1}\right) \times 0.0229\right]} = 0.2528$$

وكذلك

$$UCL = \frac{(18 - 1)^2}{18} \frac{\left(\frac{7}{18 - 7 - 1}\right) \times 6.30}{1 + \left[\left(\frac{7}{18 - 7 - 1}\right) \times 6.30\right]} = 13.0878$$

وقد تم إيجاد الحدود السابقة عند  $\alpha = 0.01$

وباستخدام معادلة (1) يمكن إيجاد المقدار الإحصائى ( $Q_i$ ) كالتالي :

$$Q_i = (x_i - \bar{x}_m) S_m^{-1} (x_i - \bar{x}_m) \quad (7)$$

ويعبر المقدار الإحصائى ( $Q_i$ ) عن القيمة الإحصائية التي سوف تقارن مع حدود

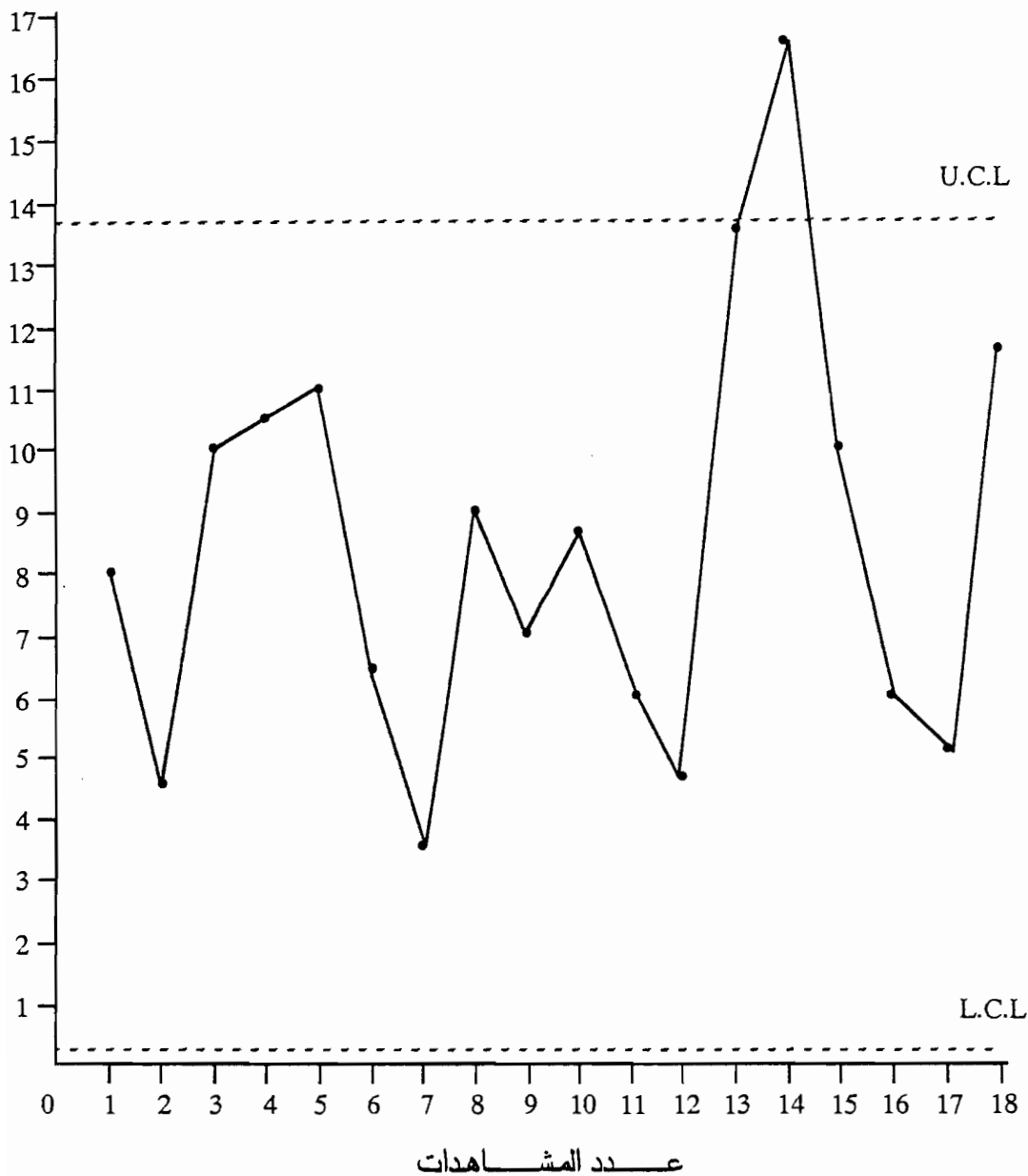
المراقبة التي تم الحصول عليها سابقاً في خرائط المراقبة .

ويمكن التعبير عن المقدار (  $Q_i$  ) بالتجه الآتى :

$$( Q_i ) = \begin{bmatrix} 7.9208 \\ 4.5140 \\ 9.9940 \\ 10.4913 \\ 11.2212 \\ 6.4790 \\ 3.8007 \\ 9.3506 \\ 7.5551 \\ 9.1880 \\ 6.4345 \\ 4.8513 \\ 13.0253 \\ 16.6263 \\ 10.3625 \\ 6.2449 \\ 5.3126 \\ 11.7406 \end{bmatrix}$$

والشكل رقم ( ١ ) التالي يوضح خريطة المراقبة المتعددة الخاصة بالعملية الصناعية محل الدراسة . ويتبين أن المشاهدة رقم ( 14 ) تقع خارج حدود المراقبة السابق تحديدها ويفحص المشاهدة رقم ( 14 ) اتضح أن هناك مستوى منخفض غير عادي بالنسبة إلى

فيتامين A (  $x_5$  ) ، والكالسيوم A (  $x_6$  ) وكذلك الفوسفور (  $x_7$  ) وبناء على ذلك استبعدت هذه المشاهدة من بيانات الدراسة أي من العينة ، وفي نفس الوقت فإن الأمر يتطلب دراسة الأسباب التي أدت إلى انخفاض مستوى المتغيرات المعنية كل على حدة ، وعلى ذلك يتضح ببساطة أن خرائط المراقبة المتعددة لا تقلل من فحص خرائط المراقبة الفردية لكل متغير على حدة .



شكل ( ١ ) خريطة المراقبة المتعددة لمجموعة البيانات في بدء العملية الإنتاجية

و بعد استبعاد المشاهدة رقم ( 14 ) وإعادة العمليات الحسابية مرة أخرى لتقدير المعانم مع استخدام ( 17 ) مشاهدة ، نجد أن متوجه المتوسطات المقدرة الجديدة هو :

$$\bar{x}_{17} = \begin{bmatrix} 32.4882 \\ 1.7541 \\ 1.5524 \\ 2.9024 \\ 20.5588 \\ 52.0441 \\ 49.0588 \end{bmatrix}$$

وكذلك أيضا فإن مصفوفة التغير المقدرة الجديدة هي :

$$S_{17} = \begin{bmatrix} 0.5049 & 0.0011 & 0.0023 & 0.0103 & 0.0082 & -0.0335 & -0.2827 \\ 0.0011 & 0.0011 & -0.0006 & -0.0005 & 0.0053 & 0.0098 & 0.0078 \\ 0.0023 & -0.0006 & 0.0015 & -0.0004 & 0.0048 & -0.0054 & -0.0088 \\ 0.0103 & -0.0005 & -0.0004 & 0.0037 & -0.0061 & 0.0044 & -0.0191 \\ 0.0082 & 0.0053 & 0.0048 & -0.0061 & 0.5223 & 0.1388 & 0.0777 \\ -0.0335 & 0.0098 & -0.0054 & 0.0044 & 0.1388 & 0.7944 & 0.0111 \\ -0.2827 & 0.0078 & -0.0088 & -0.0191 & 0.0777 & 0.0111 & 0.6667 \end{bmatrix}$$

ومصفوفة الارتباط الجديدة :

$$R_{17} = \begin{bmatrix} 1.0000 & 0.0467 & 0.0836 & 0.2383 & 0.0160 & -0.0529 & -0.4873 \\ 0.0467 & 1.0000 & -0.4671 & -0.2478 & 0.2003 & 0.3315 & 0.2880 \\ 0.0836 & -0.4671 & 1.0000 & -0.1698 & 0.1715 & -0.1564 & -0.2783 \\ 0.2383 & -0.2478 & -0.1698 & 1.0000 & -0.1388 & 0.0812 & -0.3846 \\ 0.0160 & 0.2003 & 0.1715 & -0.1388 & 1.0000 & 0.2155 & 0.1317 \\ -0.0529 & 0.3315 & -0.1564 & 0.0812 & 0.2155 & 1.0000 & 0.0153 \\ -0.4873 & 0.2880 & -0.2783 & -0.3846 & 0.1317 & 0.0153 & 1.0000 \end{bmatrix}$$

ونجد أن المتغيرات لا تزال مرتبطة في مصفوفة الارتباط الجديدة ( $R_{17}$ ) ولم تتغير إشارات معاملات الارتباط وإن تغيرت قيم هذه المعاملات مما يدل على أن استبعاد المشاهدة (14) من مجموعة المشاهدات أثر على قيم معاملات الارتباط.

وتكون حدود المراقبة الجديدة مع استخدام (17) مشاهدة هي :

الحد الأدنى

$$LCL = \frac{(17 - 1)^2}{17} \frac{\left( \frac{7}{17 - 7 - 1} \right) 0.0228}{1 + \left[ \left( \frac{7}{17 - 7 - 1} \right) 0.0228 \right]} = 0.2624$$

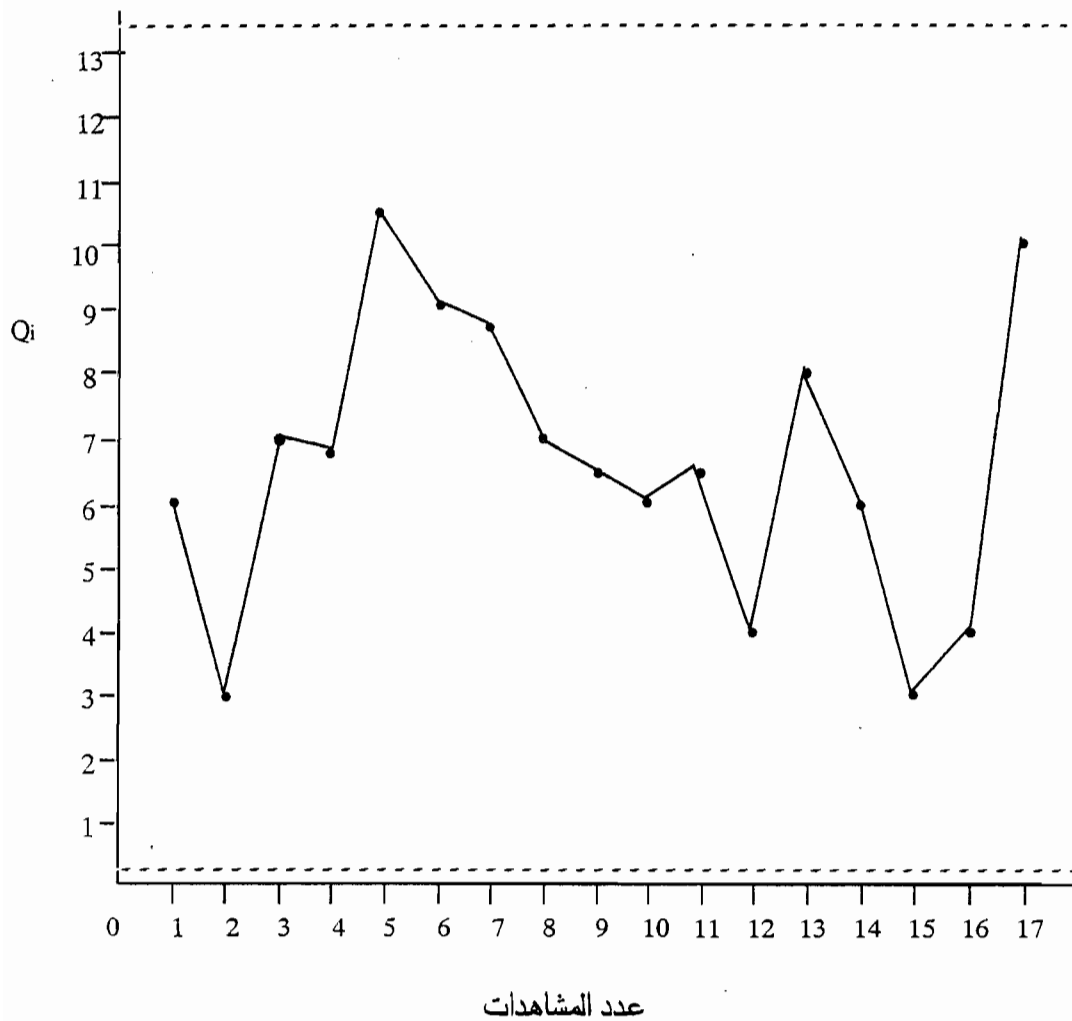
وكذلك الحد الأعلى :

$$UCL = \frac{(17 - 1)^2}{17} \frac{\left( \frac{7}{17 - 7 - 1} \right) 6.88}{1 + \left[ \left( \frac{7}{17 - 7 - 1} \right) 6.88 \right]} = 12.6878$$

وقد تم إيجاد كل من الحد الأدنى والحد الأعلى لحدود المراقبة المتعددة عند  $(0.01 = \alpha)$ .

والمقدار الإحصائي ( $Q_i$ ) الجديد المناظر لعدد (17) مشاهدة يمكن التعبير عنه بالمعتجه الآتى :

$$(Q_i) = \begin{bmatrix} 6.1774 \\ 3.3795 \\ 7.4118 \\ 6.9987 \\ 10.4373 \\ 6.7491 \\ 6.1465 \\ 7.4923 \\ 7.0132 \\ 6.3954 \\ 6.4975 \\ 4.5647 \\ 8.4647 \\ 6.5460 \\ 3.0381 \\ 3.9296 \\ 9.6090 \end{bmatrix}$$



شكل ( 2 ) خريطة المراقبة المتعددة لمجموعة البيانات المعدلة للعملية الإنتاجية .

ويوضح شكل ( 2 ) أنه لا توجد أى مشاهدة خارج حدود المراقبة ، وعلى ذلك فإنه يمكن القول أن العملية الإنتاجية تحت الضبط الإحصائى بعد التخلص من النقاط المنحرفة عن حدود المراقبة ؛ أى بعد التخلص من أخطاء المعاينة ، ونتيجة لوجود العملية الإنتاجية فى بدء الإنتاج تحت الضبط الإحصائى أصبح فى الإمكان الاعتماد على العينة الأولية محل الدراسة فى إيجاد حدود المراقبة أو الضبط للمرحلة التالية للعملية الإنتاجية .  
والسؤال الذى يواجهنا الآن هو كيفية المحافظة على الضبط الإحصائى فى المستقبل ؟

وإجابة هذا السؤال تعودنا إلى المهمة الثانية لخراط المراقبة الإحصائية المتعددة ، والتي تتم باكتشاف أي انحراف عن العملية الإنتاجية المعيارية والتي سبق إيجاد حدودها والتي سوف تستخدم لاختبار المشاهدات في المستقبل .

نفترض الآن مشاهدات المستقبل ( $x_f$ ) والتي تكون مستقلة تماماً عن قيم كل من المتوسطات المقدرة والتباينات والتغيرات المقدرة والتي يعبر عنها ( $S_m$  &  $\bar{x}_m$ ) بالترتيب وباستخدام المقدار الإحصائي ( $T^2$ ) كالتالي :

$$T_f^2 = (x_f - \bar{x}_m)^T S_m^{-1} (x_f - \bar{x}_m) \quad (8)$$

حيث تعبّر :

$x_f$  متوجه مشاهدات المستقبل متعدد الأبعاد لعدد ( $p$ ) من المواصفات أو المتغيرات.

$\bar{x}_m$  متوجه المتوسطات متعدد الأبعاد لعدد ( $p$ ) من المتغيرات وعدد ( $m$ ) من المشاهدات .

$S_m$  مصفوفة التغير من الدرجة ( $p \times p$ ) لنفس مجموعة المشاهدات .

وعندما يكون حجم العينة التي سُحبت في بدء العملية الإنتاجية كبيراً فذلك يجعلنا

نفترض أن التقديرات ( $\bar{x}_m$ ) وكذلك ( $S_m$ ) معيارية وتساوي المعالم الفعلية للمجتمع ( $M$ ) ، بالترتيب فإن المقدار الإحصائي ( $T_f^2$ ) يأخذ الشكل الآتي :

$$T_f^2 = (x_f - \mu)^T \sum^{-1} (x_f - \mu) \quad (9)$$

حيث يتبع توزيع ( $\chi^2$ ) مع درجات حرية ( $p$ ) . وفي هذه الحالة فإن كلاً من حدود المراقبة يمكن الحصول عليهما باستخدام المعادلة (2) وكذلك المعادلة (3) .

وتعتبر هذه الحدود كتقريب لتوزيع ( $\chi^2$ ) مع درجات حرية ( $p$ ) طالما أن ( $\bar{x}_m$ ) و ( $S_m$ ) بمثابة متغيرات عشوائية وليس معالم المجتمع ، والتطبيق العملي أفاد بأن قد لا يكون هناك احتياج لهذا التقريب طالما أن التوزيع الفعلى للمقدار ( $T_f^2$ ) يمكن الحصول

عليه ؛ حيث أوضح سابقاً أن :

$$T_f^2 = \frac{p(m+1)(m-1)}{m(m-p)} F(p, m-p)$$

وعلى ذلك فإن حدود المراقبة الفعلية هي :

الحد الأدنى :

$$LCL = \frac{p(m+1)(m-1)}{m(m-p)} F\left(1 - \frac{\alpha}{2}; p, m-p\right)$$

والحد الأعلى :

$$UCL = \frac{p(m+1)(m-1)}{m(m-p)} F\left(1 - \frac{\alpha}{2}; p, m-p\right)$$

وإذا افترض أن متوجه المستقبل للمشاهدات :

$$x_{f_1} = \begin{bmatrix} 33.2129 \\ 1.7445 \\ 1.5667 \\ 2.9600 \\ 20.1500 \\ 52.3049 \\ 48.8142 \end{bmatrix}$$

ولاتخاذ القرار بأن العملية الإنتاجية مع متوجه المستقبل السابق تحت الضبط أم لا ، تستخدم بيانات جدول ( ١ ) للمشاهدات التي تمثل العينة في بدء العملية الإنتاجية وهي في حالة الضبط ويمكن استنتاج حدود المراقبة الفعلية كالتالي :

الحد الأدنى :

$$LCL = \frac{7(17+1)(17-1)}{17(17-7)} \times 0.0229 = 0.2716$$

والحد الأعلى :

$$UCL = \frac{7(17+1)(17-1)}{17(17-7)} \times 6.30 = 74.7106$$

وباستخدام معادلة ( 8 ) نجد أن (  $T_f^2 = 3.3747$  ) ومقارنة هذه القيمة بحدود المراقبة السابقة نجد أنها تقع داخلها ، وبالتالي يمكن القول أن متوجه المستقبل للمشاهدات تحت الضبط أو المراقبة .

وإذا افترضنا متوجه المستقبل لمشاهدات أخرى كالتالي :

$$x_{f_2} = \begin{bmatrix} 32.9994 \\ 1.7479 \\ 1.5224 \\ 3.1000 \\ 20.0588 \\ 51.6990 \\ 48.6776 \end{bmatrix}$$

وباستخدام معادلة ( 8 ) نجد أن قيمة (  $T_f^2 = 13.5032$  ) وأيضاً تقع هذه المشاهدة داخل حدود المراقبة وعليه فإن هذه المشاهدة تحت الضبط .

ونجد أن الحد الأعلى ( UCL ) باستخدام حدود المراقبة الفعلية المستخدم في المحافظة على ضبط المشاهدات في المستقبل وقيمته ( 74.7106 ) أكبر ( 6 ) مرات تقريباً عن الحد الأعلى الذي تم الحصول عليه عند إنشاء المراقبة الإحصائية في بدء العملية الإنتاجية وقيمته ( 12.6878 ) .

وعندما يكون عدد المجموعات داخل العينة محل الدراسة صغيراً بالإضافة إلى أن حجم كل مجموعة مشاهدة واحدة والعملية الإنتاجية في مرحلة البدء وبافتراض أن المشاهدات داخل العينة مستقلة ؛ فيلاحظ أن متوجه المتوسطات ومصفوفة التغایر لهذه العينة تنتج حداً أعلى متحفظاً ( Conservative ) .

ومن ناحية أخرى نجد أن التوزيع التقريري (  $\chi^2$  ) المستخدم في معادلة ( 3 ) سوف

يكون الحد الأعلى له قيمة [  $\chi^2 = \frac{\alpha}{2} - 1$  ] ;  $p = 20.3$  ] UCL [ والذى يعتبر بالنسبة للحالة الأولى - وهى إنشاء حدود ضبط فى مرحلة بدء العملية الإنتاجية متحفظاً . بينما يعتبر بالنسبة للحالة الثانية وهى استخدام هذه الحدود البيانات المستقبل متواهاً أو متسامحاً .

ويسهولة جداً يمكن مقارنة حدود المراقبة العليا المتعددة للضبط فى مرحلة بدء الإنتاج باستخدام التوزيع الفعلى ( Beta ) وبين حدود المراقبة العليا للضبط فى نفس مرحلة الإنتاج باستخدام التوزيعات التقريبية (  $\chi^2$  , F ) من الجداول الإحصائية مباشرة وجدول رقم ( 3 ) يوضح هذه المقارنة عند عدد متغيرات ( p ) يأخذ القيم ( p = 5 , 7 10 ) وكذلك عدد المجموعات ( m ) تأخذ القيم ( m = 10 , 15 , 20 , 30 , 60 , 120 ) كالتالى :

جدول ( 3 ) حدود المراقبة العليا المتعددة عند :  $\alpha = 0.01$

m	p = 5			p = 7			p = 10		
	Beta	F	$\chi^2$	Beta	F	$\chi^2$	Beta	F.	$\chi^2$
10	7.82	147.51	16.75	8.09	1025.64	20.3			25.20
15	10.53	51.30	16.75	11.75	101.79	20.3	12.82	406.19	25.20
20	12.03	35.71	16.75	13.77	56.93	20.3	15.83	116.71	25.20
30	13.59	27.03	16.75	15.95	37.39	20.3	18.94	57.69	25.20
60	15.13	20.94	16.75	18.25	26.86	20.3	22.30	36.47	25.20
120	15.97	18.68	16.75	19.26	23.11	20.3	23.70	29.88	25.20

ولقد أخذ فى الاعتبار فى الجدول السابق أن يحتوى على أحجام المجموعات صغيرة ممثلة فى الأحجام ( 10 , 15 , 20 ) وكذلك أحجام المجموعات الكبيرة ( 120 , 60 , 30 ) وفي نفس الوقت كان عدد المتغيرات تحت الدراسة فى تزايد ( 5 ثم 7 ثم 10 ) ويلاحظ فى الجدول الآتى :

عند المجموعات الصغيرة ( 15 ) مثلاً مع عدد متغيرات ( 5 ) ؛ نجد أنه باستخدام توزيع ( Beta ) فإن (  $UCL = 10.53$  ) بينما باستخدام توزيع ( F ) يبلغ ( 147.51 ) ( وأخيراً باستخدام (  $\chi^2$  ) يساوى ( 16.75 ) في حين إذا استخدم عدداً أكبر من المتغيرات ول يكن ( 10 ) نجد أن الحدود العليا لكل من (  $\chi^2$  ,  $F$  , Beta ) هي ( 25.20 , 406.19 , 12.82 ) وذلك بالترتيب والفرق الواضح هنا بين الحدود العليا للمراقبة المتعددة بسبب الأخطاء الناتجة من استخدام توزيعات تقريبية (  $\chi^2$  ,  $F$  ) .

أيضاً يلاحظ أن الحدود العليا للمراقبة المتعددة باستخدام توزيع ( Beta ) أقل حدود مما كان حجم المجموعات وعدد المتغيرات إليها توزيع (  $\chi^2$  ) ثم (  $F$  ) أخيراً .

وعند تطبيق الأساليب التقريبية السابقة على البيانات المتاحة في مثالنا كاملة أي إذا لم نستبعد منها أي مشاهدات فإننا نكون بصدق (  $P = 7$  ) وكذلك (  $m = 18$  ) وعلى هذا فإن باستخدام تقريب (  $\chi^2$  ) نجد أن الحد الأعلى للمراقبة المتعددة عند (  $\alpha = 0.01$  ) هو (  $UCL = 20.3$  ) وإذا ما استخدمنا تقريب ( F ) نجد الحد الأعلى (  $UCL = 68.17$  ) .

ويلاحظ أن قيمة الحد الأعلى الأخيرة أكبر كثيراً من قيمة الحد الأعلى الذي تم تحديده سابقاً والتي تبلغ ( 13.0878 ) مما يدل على أن الأساليب التقريبية تنتج تقديرات عالية بالنسبة للحدود العليا .

## ملخص

تعتبر خرائط المراقبة المتعددة ( $T^2$ ) بمثابة أداة تحليل فعالة لمراقبة عدة مواصفات آنها وخاصة إذا كانت العملية الإنتاجية في مرحلة البدء ، حيث غالباً ما تحتوى العينة المستخدمة على عدة مجموعات ، وكل مجموعة عبارة عن مشاهدة واحدة فقط أي (مشاهدات أولية فردية) وللاعتماد مستقبلاً على حدود المراقبة الناتجة من مثل هذه العينة ؛ يجب أن تكون القاعدة المستخدمة لإنشاء حدود المراقبة ذات تقديرات دقيقة ولذلك استخدم توزيع (Beta) للحصول على الإحصاء ( $T^2$ ) أي ( $Q_i$ ) حيث كانت نتائجه أكثر دقة من استخدام التوزيعين التقربيين ( $F$ ) و ( $\chi^2$ ) وخصوصاً مع أحجام المجموعات الصغيرة في مرحلة البدء كما في حالتنا التطبيقية .

المراجع :

- 1- **Alt, F.B.** ( 1985 ) , " Multivariate Quality Control " , Encyclopedia of statistical Sciences , 6 ( S.Kotz and N.Johnson , eds ) , John Wiley & Sons, New York , NY, PP. 110 - 122 .
- 2- **Gnanadesikan , R.,** ( 1977 ) . Methods for statistical Data Analysis of Multivariate Observations , John Wiley , Sons , New York , NY.
- 3- **Hawkins, D.M.** ( 1991 ) , " Multivariate Quality Control Based on Regressien - Adjusted Variables " , Technometrics 33 , PP. 61 - 76 .
- 4- **Hotelling , H.** ( 1947 ) , " Multivariate Quality Control " , Techniques of statistical Analysis ( C. Eisenhart , M. Hastay, and W.A. Wallis , eds ) , Mc Graw - Hill , New York , NY , PP. 111 - 184 .
- 5- **Jackson , J.E.** ( 1985 ) " Multivariate Quality Control " , Communications in statistics , 14 ( 11 ) , PP. 2657 - 2688 .
- 6- **Mantgomery D.C.,** ( 1991 ) , Introduction to statistical Quality control , 2 nd ed ., John Wiley & Sons , New York .
- 7- **Nelson . L.S.,** ( 1984 ) , The shew hart control chart - tests for special causes , J. Quality technal ., 16 , PP . 237 - 239 .
- 8- **Nelson . L.S.,** ( 1985 ) , Interpreting shewhart  $\bar{x}$  control charts , Journal . Quality Technal ., 17 , PP. 114 - 116 .

- 9- **Roy. S.N.** , ( 1957 ) Some Acpects of Multivariate Analysis  
John Wiley & Sons Inc., New York .
- 10- **Ryan , T.P.**, ( 1989 ) , Statistical Methods for Quality Improvments . Wiley , New York .
- 11- **Seber , G.A.F.** , ( 1984 ) , Multivariate Observations , John Wiley & Sons , New York .
- 12- **Sultan , T.I.**, ( 1986 ) , An acceptance chart for raw material of two correlated properties , Quality Assurance , 12, PP. 70 - 72 .
- 13- **Tracy , N.C., and Young, J.C.**, ( 1992 ) , Multivariate control charts for Individual observations , Journal Quality Technal ., 24 , PP. 88 - 95 .